

目 录

總論	(1)
§ 1 微波波段的定义和划分	(1)
§ 2 微波测量技术与微波测量仪器的特点	(3)
§ 3 微波测量仪器设计中問題的特点	(3)
§ 4 微波测量技术与测量仪器的发展	(4)
第一章 超高频三极管訊号发生器	
§ 1 超高频三极管振盪器电路的特点	(6)
§ 2 三极管振盪器中的反饋系數	(9)
§ 3 负載电阻对振盪器工作的影响以及 C_{ax} 与輸出功率的关系	(10)
§ 4 三极管振盪器在超高頻时的工作状态	(11)
§ 5 三极管振盪器的实际电路	(17)
§ 6 振盪迴路	(18)
§ 7 調諧机构	(25)
§ 8 滑动短路器	(26)
§ 9 反饋装置	(30)
§ 10 輸出耦合装置和頻率微調裝置	(33)
§ 11 輸出衰減器	(37)
§ 12 振盪器的調制	(38)
§ 13 振盪器的頻率穩定問題	(43)
§ 14 三极管超高頻訊号发生器的结构	(45)
§ 15 三极管振盪器结构設計中的若干問題	(49)
第二章 反射調速管訊号发生器	
§ 1 反射調速管的工作特性	(69)
§ 2 反射調速管振盪器的調諧方法	(71)
§ 3 同軸諧振腔的振盪模式	(77)
§ 4 諧振腔的計算	(79)
§ 5 振盪条件和振盪模的图解	(82)
§ 6 振盪模的干涉	(87)
§ 7 TEM波干涉的防止及消除	(89)

191269

2007/14

§ 8	寄生諧振的影响.....	(95)
§ 9	H 波寄生諧振.....	(98)
§ 10	E 波寄生諧振.....	(99)
§ 11	干涉抑制器和終端短路器中的寄生諧振.....	(101)
§ 12	終端短路器.....	(103)
§ 13	振盪器与負載的耦合.....	(113)
§ 14	振盪功率的稳定.....	(116)
§ 15	振盪頻率的稳定.....	(117)
✓	§ 16 反射調速管振盪器中的調制.....	(125)
§ 17	調速管振盪器的电源供給.....	(133)
§ 18	反射調速管訊号发生器的結構.....	(137)
第三章 其他訊号发生器		
§ 1	毫米波訊号发生器.....	(17)
§ 2	晶体二极管倍頻器.....	
§ 3	噪声发生器.....	
第四章 衰減器		
§ 1	衰減量的定义.....	(1)
§ 2	設計衰減器时的一般性問題.....	(1)
§ 3	截止式衰減器的工作原理.....	(1)
§ 4	工作波型的純洁度.....	(1)
§ 5	干涉波型的分离.....	(1)
§ 6	波型滤波器.....	
§ 7	截止式衰減器的輸入阻抗变化.....	
§ 8	截止式衰減器輸入阻抗对衰減量的影响.....	
§ 9	阻抗匹配技术.....	
§ 10	关于 E ₀₁ 型截止式衰減器的設計問題.....	(1)
§ 11	截止式衰減器的結構.....	(19)
§ 12	吸收式同軸綫衰減器.....	(21)
§ 13	吸收式波导衰減器.....	(22)
§ 14	极化吸收式衰減器.....	(23)
§ 15	利用微波铁淦氧体的几种衰減器和单向器.....	(23)
§ 16	气体放电衰減器.....	(23)
第五章 伏特計式功率測量儀器		
§ 1	伏特計式功率測量儀器的基本原理与分析.....	(24)
§ 2	負載电阻的研究.....	(24)
§ 3	典型设备示例.....	(24)
第六章 热敏电阻式功率測量儀器		

§ 1	电桥电路	(252)
§ 2	热敏元件	(257)
§ 3	直读式测热敏电阻电桥的温度补偿	(263)
§ 4	热敏电阻座	(271)
§ 5	典型儀器介紹	(279)
第七章 量热計式功率測量儀器		
§ 1	量热計式功率測量儀器的基本工作原理	(286)
§ 2	水負載	(287)
§ 3	水流速度和溫差的測量以及水流系統	(292)
§ 4	誤差分析	(295)
§ 5	典型儀器介紹	(297)
第八章 其他功率測量儀器		
§ 1	微波功率指示器	(301)
§ 2	光度計式瓦特計	(311)
§ 3	利用电磁波的有質作用力的微波瓦特計	(312)
第九章 駐波測量儀器		
§ 1	对开槽測量綫的基本要求	(318)
§ 2	开槽傳輸綫	(318)
§ 3	槽	(319)
§ 4	探針	(322)
§ 5	探針的舌套	(325)
§ 6	平板型同軸測量綫	(327)
§ 7	开槽測量綫的机械結構設計問題	(328)
§ 8	开槽測量綫的具体結構	(336)
§ 9	自动測量綫	(347)
§ 10	无槽多探針測量綫	(350)
§ 11	挤压綫段	(352)
第十章 阻抗測量儀器		
§ 1	阻抗測量电桥	(355)
§ 2	惠斯登波导阻抗电桥	(355)
§ 3	双T波导阻抗电桥	(357)
§ 4	双T接头的制造和匹配問題	(362)
§ 5	单频双T阻抗电桥及其有关問題	(366)
§ 6	多频阻抗电桥	(371)
§ 7	环形阻抗电桥	(374)
§ 8	阻抗圖示儀	(375)
§ 9	阻抗比較儀	(384)

§ 10	定向耦合器式阻抗測量儀	(387)
第十一章 波長測量儀器		
§ 1	諧振腔	(394)
§ 2	双諧振腔耦合系統	(396)
§ 3	一些简单形状的諧振腔的主波型	(397)
§ 4	諧振腔的設計	(411)
§ 5	設計舉例	(414)
§ 6	机械上的考慮	(420)
§ 7	温度和湿度的影响	(422)
§ 8	实际波长計电路	(427)
§ 9	实际波长計的結構	(437)
§ 10	应用光学測量法的波长測量設備	(446)
第十二章 頻譜分析測量儀器		
§ 1	某些高頻脈冲的頻譜	(455)
§ 2	頻譜分析的基本方法	(459)
§ 3	頻譜儀的靜態分辨能力和分析誤差	(460)
§ 4	分辨能力和分析速度之間的关系	(463)
§ 5	頻譜儀的动态分辨能力	(466)
§ 6	頻譜儀的最佳分辨能力和分析速度	(470)
§ 7	自动頻譜分析儀在分析重复性脉冲訊号时的情况	(472)
§ 8	外差式自动頻譜分析儀設計中的主要問題	(474)
§ 9	頻譜儀的灵敏度	(473)
§ 10	外差式頻譜儀中的脣頻响应	(482)
§ 11	外差式頻譜儀中的頻率稳定性問題	(481)
§ 12	外差式頻譜儀的結構	(485)
第十三章 諧振腔參數測量儀		
§ 1	諧振腔參數測量儀的基本工作原理	(499)
§ 2	諧振腔比較儀	(506)
§ 3	Q 比較儀	(507)
§ 4	頻标式諧振腔測量儀	(507)
§ 5	衰減式Q值測量儀	(513)
第十四章 頻率測量儀器		
§ 1	微波頻率計	(517)
§ 2	頻率标准	(518)
§ 3	微波精密頻率計的实际結構	(523)
§ 4	分子鉛和原子鉛	(535)
§ 5	利用順磁諧振效应的頻率計	(538)

緒論

§1 微波波段的定义和划分

整个电磁振盪頻譜，按其产生及探测方法，可以划分为两大区域。第一个区域，从波长最短的宇宙射線、 γ 射線、X射線以至可見光、紅外線、远紅外線，统称为光学区域。这些电磁振盪的产生方法，主要是基于各种微粒的能量跃迁，其频率（波长）取决于这些微粒的量子論的特性。至于探测方法，则主要是基于量子效应的光电过程或光化学过程。另一部份波长较长的电磁振盪统称为无线电波。无线电波的产生是和电磁現象直接相联系的，其频率可以通过电路的几何形状和尺寸而加以控制。探测方法主要是将高频电能能量轉变为机械运动（例如，电鑽指針的摆动，揚声器的震动，电子射線在螢光屏上的运动等）。

所謂“微波”是指无线电波的高频区域，在这区域中，设备的尺寸是与振盪波长可以相比拟的。换而言之，即从技术的特点着眼，而并不确切地定义一个具体的频率范围。目前，大致上可以認為微波波譜的下边界約为2—3毫米的波长，因为更短的波长，目下还难以产生及探测。此外，在更短的波长下，儀器和设备的尺寸将小得不切实际，在此情况下，采用光学方法将更为适当。即使在毫米波段中，某些测量（例如频率或波长）也开始采用光学方法了。微波波譜的上限，取决于集总參數电路和普通电子管所能有效地工作的频率。一般說來，这个界限频率約在300—500兆赫左右。但是，在大功率的设备中，有时甚至在100厘米波长时，也使用波导系統。

在微波技术中，通常按波长的数量級来划分波段，如表1所示。此外有时还把毫米波再划分为长、中，短三段，如表2表所示。雷达中所用的1.25厘米波段，有时也称为准毫米波波段。

表1

波段名称	波长范围 (厘米)	频率范围 (兆赫)
米波(公尺波)	≥ 100	≤ 300
分米波(公寸波)	100—10	300—3000
厘米波(公分波)	10—1	3000—30000
毫 米 波	1—0.1	30000—300000
亚毫 米 波	≤ 0.1	≥ 300000

表2

分波段名称	波长范围 (毫米)	频率范围 (千兆赫)
长毫米波	≥ 7.5	≤ 40
中毫米波	7.5—4	40—75
短毫米波	≤ 4	≥ 75

在雷达技术中，则根据常用的波长，划分为若干个波段，每段用一个拉丁字母来作为代号，如表3所示。在研究分子特性的微波波谱学中，其所用代号则又有所不同，如表4所示。

表3

波段代号	标称波长(厘米)	标称频率(千兆赫)
L	50/23	0.6/1.3
S	10	3
C	5.5	5.5
X	3.2	10
J	1.5	20
K	1.25	24
Q	0.8	34

表4

波段代号	标称波长(毫米)	标称频率(千兆赫)
K	12.5	24
J	8	35
I	6	05
H	4	75
G	2.5	120
F	1.5	200

§ 2 微波測量技术和微波測量儀器的特点

从原則上說，在任何一个以分布參數电路为基础的微波系統中，它的工作情况取决于其內部的电磁場結構。据此，必須測量出整个系統中的电場和磁場分布，才能明白确切地了解該系統的全部情况。但是，在实际上，還沒有简单直接地进行这种測量的方法，因而不得不求助于間接而实用的方法。

下列两个关系式是大家都熟悉的：

$$\vec{P} = \vec{E} \times \vec{H} \quad (1)$$

$$Z = \frac{\vec{E}}{\vec{H}} \quad (2)$$

由此可見，功率和阻抗的測量，将間接地描繪出电場和磁場的分布情况。这就决定了这两类测量的重要性。除此以外，頻率（或波長）測量的重要性是不言而喻的。一方面，振盪頻率是高頻振盪的一个基本參量。另一方面，电磁場在系統內的分布情形往往取于系統的尺寸与振盪波長之間的相对关系。

在微波波段中，功率和頻率（波長）是唯一地能够作出絕對測量的两个參量。至于阻抗，一般只能进行相对的測量，換句話說，就是以某一標準阻抗（通常是傳輸系統的波阻抗）作为参考，而測量出其相对值。

微波測量技术的特点決定了測量儀器的特点。

§ 3 微波測量儀器設計問題中的特点

微波測量儀器通常包括两个組成部份，即高頻系統（分布參數电路）和低頻系統（集总參數电子路）。后者通常是作为儀器的指示器和控制系統。这两个系統作为儀器中的两个不可缺少的組成部份，是互相依賴的，所以它們的設計是不能互相分割孤立的。但是在这两个系統中，它們的工作特性的分析是通过不同的理論基础而获得的：高頻系統依靠电磁場和長綫理論，而电子电路則以集总參數电路理論为基础。因此，这两部份的設計問題就往往迥然而異。

低頻系統的設計問題是另一門課程——无线电測量儀器——的任务。

至于高頻系統的設計，則存在着某些特殊的困难問題。首先，既然高頻系統的工作特性取决于其內部的电磁場分布，所以問題就涉及到电磁場和長綫理論，涉及到偏微分方程的求解問題。这往往是一个极端复杂的問題。有些問題至今还未能得到完滿的解决。有些問題，虽然获得了在理論上相当满意的解决，而其結果却是那么复杂，以致在实际設計計算中根本无法加以利用。除此以外，分析一个現存系統的工作特性是一个問題；而反过来，当給定了对系統工作特性的要求以后，要求設計出最佳的系統結構形式又是另外一个问题。而后一問題往往比前一問題困难复杂得多。

为此，在高頻系統的設計中，往往不得不依靠實際的測量試驗，借試修改。在這方面，前人的經驗總結、測試數據和典型設計是很有幫助的。此外，還可以根據相似理論，利用現存的高頻系統的詳細資料來設計另一個工作於另一頻段上的新系統。另一方面，當新的設計的實驗工作比較困難時，同樣也可以根據相似理論來進行模型試驗。例如，在發展和研製毫米波波段的新儀器時，就往往在3厘米波段的模型上進行試驗和改進。

根據相似原理，在改變試件的幾何尺寸和工作頻率時，其材料的電磁特性亦應相應地作適當改變，以滿足下列關係：

$$\mu \epsilon l^2 f^2 = A \quad (3)$$

$$\mu \sigma l^2 f^2 = B \quad (4)$$

其中A和B是常數，l是試件的線性尺度。

例如，把一系統的線性尺度l放大一倍時，如果 μ 和 ϵ 維持不變，則工作頻率應降為原來的 $\frac{1}{2}$ ，以滿足公式(3)。這時，為了同時滿足公式(4)，就要求 σ 增大一倍。這一點在某些情況中是十分重要的，例如在諧振系統中導體壁和絕緣介質中的損耗對其工作特性有極顯著的影響。但另一方面，也有許多（甚至可以說絕大多數）高頻元件中的導體和介質損耗不大，而且對其工作特性影響極微。這時，在確定電磁場分布時，導電率並不起重大的影響，或者說，元件的阻抗幾乎與導電率無關。在這種情況下，條件(4)也不一定要求滿足。

有時也會遇到這樣的情況，就是工作頻率不變，但是要縮小高頻系統的尺寸。在這種情況下，最簡單的辦法就是利用另一種介電常數更大的新介質代替原有的介質或空氣填充。由條件(3)可見，當要求尺寸縮小一半時，新的介質資料的介電常數應為原來的4倍。

當然，並不是系統的全部尺寸都要照比例增大或縮小的，主要是系統內電磁場存在着的那部分空間及其邊界。除此以外，例如波導壁的外部尺寸等無關緊要的部分自然不受此限。

根據以上所述，還導出了微波測量儀器的另一個特點，就是型號規格系列的繁複化。例如，在低頻時一個設計精良的電阻衰減器可以從直流一直工作到20—30兆赫，即包括整個音頻和射頻頻段。但在微波波段中，却不得不為10厘米、3厘米、1厘米等各個分波段設計製造不同的衰減器。

§4 微波測量技術和測量儀器的發展

根據以上所述，不難看出，在較低頻段中的測量方法和測量儀器，除小部份經過適當的修改後可以引用于微波波段中以外，大多數是完全不適用的。這就要求創造出完全不同類的新穎的方法和儀器。

隨着分米波和厘米波技術的發展和掌握，在近二十年來，在這個波段內，對於測量技術和測量儀器方面已經掌握和積累了極其豐富的經驗。在這一門課程中所講授的，主要就是有關這兩個波段中的測量儀器的設計製造經驗的一個基本總結。

但是，把这些經驗直接移用于目前正在蓬勃发展中并已开始实际应用的毫米波波段中，却并非永远都是成功的。首先，随着波长的缩短，测量设备的尺寸也就愈来愈小，对机械结构制造的精密度和光洁度的要求就愈来愈高，甚至大大超过了现有的工艺水平和加工能力。此外，由于波导元件和绝缘介质内的损耗随频率升高而剧增，也带来了附加的困难。这些都促使我們寻求解决問題的新途径，希望能創造出其尺寸不受波长限制的测量设备来。在这方面已經进行了一系列的探索和試驗，导致了^{利用}电磁波的干涉和繞射現象，电磁波的有質作用力，馬留斯定律，法拉第效应等一系列^{新的}类光学测量方法和测量设备来。其中有些技术或设备虽然目前尚未广泛的付諸实用，但无疑是极有发展前途的。

另一方面，新的微波材料和元件的发展，例如，微波鉄淦氧磁体，和新^的微波半导体器件等，也給微波测量儀器开辟了广阔的新前途。利用这些新元件，可以实现以前認為是几乎不可能的幻想，使我們有可能制造出用电气方法調諧的波导元件，从而克服了精密机械傳动和加工的困難問題，并創造出寬波段的半自動化和全自动化的儀器來（如阻抗图示儀等）。

隨着H₀₁型圆柱波导寬頻帶远距离通訊研究工作的發展，对微波测量提出了一系列的新任务，要求創制出一系列完全新颖的测量儀器和设备来，如圆柱波导中的电磁場結構分析测量儀器，波导傳輸線路不均匀性测量儀器等等，形成了微波测量儀器中的一个新兴的部門。

新型的微波傳輸系統（带状綫，单根綫等）的研究也提出了創制另一系列新颖的测量儀器的任务。

微波测量技术と測量儀器曾經对原子和分子的微波波譜學的發展作出过出色的貢献。反过来，微波波譜學的发展也为微波测量儀器开辟了另一个方面的新发展途徑。基于微波波譜學的成就，已經創制出了新型的频率和時間測量基准。經达今后一段时期的努力建设，有取代現行的天文時間測量原基准的趋势。在微波波譜學的基础上，也產生了某些寬頻帶频率測量设备的雛型。

总而言之，在微波测量儀器的未来发展前面，有着非常广阔的天地。所提出的任务是十分艰巨的，但前途却是乐观的，前景是光輝灿烂的。

第一章 超高頻三極管訊號發生器

一具完善的訊號發生器包括振盪器、調制器、輸出裝置、測量裝置以及电源供電設備等部分。

利用現代的高頻三極管和分布參數振盪迴路，可以產生頻率高达10千兆赫的振盪。但一般說，使用在3千兆赫以上的頻率是不容易的。在3千兆赫以下的頻段中，三極管工作十分良好。振盪頻率所受到供电电源电压变动的影响，不象調速管振盪器中那樣嚴重。因而电源設備就不象調速管訊號發生器中的那麼複雜龐大。在三極管振盪器中很容易得到脈衝調制。但是，調頻是困難的。

除七而外，超高頻三極管的現代工業產品，一般都能產生足夠大的振盪功率。在高頻接收機的測量工作中，訊號發生器只要有 10^{-1} 瓦左右的極微弱輸出功率就够了。在最常遇到的簡單的駐波測量中，則一般需要幾個毫瓦的功率。不過，為了防止測量過程影響訊號發生器的輸出功率或頻率，通常在訊號發生器與被測系統之間插入一個衰減量不小于10分貝的衰減器。這樣一來，就要求訊號發生器能夠輸出幾十毫瓦的功率。此外，在某些測量中，例如在衰減量的測量或天線的測量等工作中，訊號發生器所輸出的功率只有一小部分能達到指示儀器中，這樣就要求訊號發生器的輸出功率達到几百毫瓦。總而言之，對一般應用來說，訊號發生器有一瓦左右的輸出功率是足夠的了。在現代的超高頻三極管中，得到這樣的振盪功率是不難的。

在微波波段中，外激功率放大器是極端困難的。因此，照例是從自激振盪器中直接輸出到負載上。這樣一來，振盪器本身就應該同時完成兩個任務：它一方面是一個高效率的振盪器，保證在相當穩定的頻率下以足夠的振盪功率供給負載，同時在它裡面應當完成所需要的調制。

在下面，我們主要集中注意力在與超高頻三極管強力自激振盪器的工作有關的一些問題中。

§ 1 超高頻三極管振盪器電路的特點

大家都知道，在頻率很高的時候，由於各種損耗的增加、迴路諧振阻抗減小以及電子慣性的影响，使放大器和振盪器的輸出功率和效率都大為下降。

除此以外，由於電子慣性的影响，板流基波和柵壓之間有一個附加的相位移，根據振盪器中的相位平衡條件，這就導致在負載2中的電壓與板流基波之間出現一個相位差

$$\varphi_z = -\varphi_k - \varphi_s \quad (I-1)$$

其中， φ_k 是反饋系數的相位移；

φ_s 是電子管折合跨導的相角。

如果反饋系數是實數，即 $\varphi_k = 0$ ，則當頻率上升時，由於電子慣性的影响， φ_s 隨之增大， φ_z 亦因之而增大。隨著負載失諧的加甚，輸出功率就更加降低，因為

$$P = \frac{1}{2} I_{av} U \cos \varphi_2 \quad (I-2)$$

为了保证最大功率输出，应该适当地调整反馈系数的相位。因此，在超高频振荡器中，照例是采用双回路的振荡电路。其中一个回路用以调整振荡频率，而另一个回路则用来调整反馈系数。在一个典型三端振荡器电路中，可以有如图 I-1 所示的三种结构形式。视两个回路公共点的所在，分别称为（a）共栅电路，（b）共板电路和（c）共阴电路。因为通常两个回路的公共点是接“地”（接到机壳上）的，所以有时也称为栅极接地、板极接地和阴极接地电路。不过应该指出，在放大器中，为了避免寄生耦合，两回路的公共点是必须接地的，但是在自激振荡器中，既然要调整板路与栅路之间的耦合，实际上那一点接地是无关紧要的。

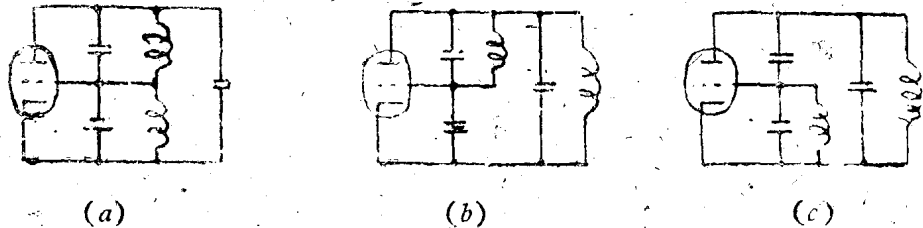


图 I-1

在今后所进行的分析中，我们只考虑电子管的极间电容的作用，而忽略电极的引线电感，因为在现代超高频三极管中，引线电感是相当小的。

首先研究一下共栅电路（图 I-2）。根据自激条件，栅阴电路的阻抗应当是电容性的，因此可以用一个等效电容 C'_{gk} 来代替 C_{gk} 和 X_k 的组合：

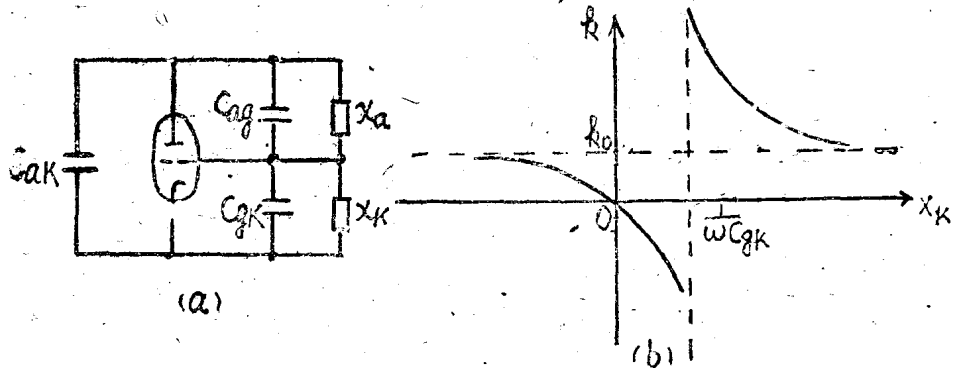


图 I-2

$$C'_{gk} = C_{gk} \left(1 + \frac{1}{\omega C_{gk} X_k} \right) \quad (I-3)$$

于是反馈系数可以写为下列形式：

$$k = \frac{C_{ak}}{C'_{gk}} = \frac{k_0}{1 - \frac{1}{\omega C_{gk} X_k}} \quad (I-4)$$

其中， $k_0 = \frac{C_{ak}}{C_{gk}}$ 。由此可见，反馈系数是频率、电子管的参数和栅阴电路电抗

X_k 的函数。 k 和 X_k 之间的关系示于图 I-2b 中。

振盪频率取决于振盪系统的谐振条件：

$$\frac{1}{X_a} = \omega \left(C_{ag} + \frac{C'_{ak} C'_{gk}}{C_{ak} + C'_{gk}} \right) = \omega \left(C_{ag} + \frac{C_{ak}}{1+k} \right) \quad (I-5)$$

由此可见， X_a 应是电感性的。此外，振盪频率不但取决于 X_a 之值，而且也取决于反馈系数，即取决于栅阴电路。但是后面这种依从关系是比较弱的，因为当 k 变化时（记得 $k > 0$ ），总电容量 $C_{ag} + \frac{C_{ak}}{1+k}$ 的变化是不大的。可以说，板栅电路主要决定振盪频率，而栅阴电路则主要决定反馈系数。两者的调整几乎是互不相关的。通常先调整板栅电感，得到所需频率后，然后调节栅阴电感以获最大功率输出。这时振盪频率略有变动，如果必要，可以重新略为调整一下板栅电感，以得准确的振盪频率。这种调整的方便性决定了共栅电路的广泛应用。

在共板电路中（图 I-3），板阴电路的阻抗应当是电容性的。因此，同样可得

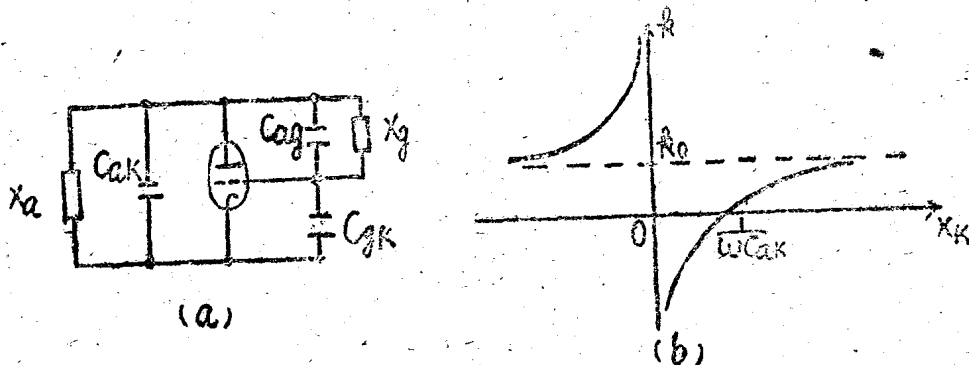


图 I-3

$$k = \frac{C'_{ak}}{C'_{gk}} = k_0 \cdot \left(1 - \frac{1}{\omega C_{ak} X_k} \right) \quad (I-6)$$

$$\frac{1}{X_a} = \omega \left(C_{ag} + \frac{C'_{ak} C'_{gk}}{C'_{ak} + C'_{gk}} \right) = \omega \left(C_{ag} + \frac{k}{1+k} C_{gk} \right) \quad (I-7)$$

其中， $C'_{ak} = C_{ak} - \frac{1}{\omega X_k}$

由此可见，共板电路的调整，具有和共栅电路相似的特点。但是当反馈系数 k 改变时，频率的变化比较大一些。

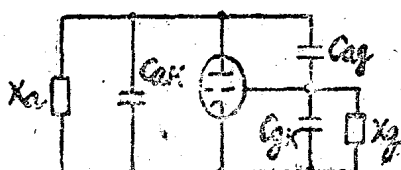


图 I-4

在共阴电路中（图 I-4），为了要产生自激，栅阴电路和板阴电路的阻抗都应该是电感性的。振盪频率和反馈系数与两个迴路参数之间的关系大体上都同样密切。两者之间互相独立地分别进行调节是不可能的。因此，共阴电路在甚高频率时是极少应用的。

除此以外，为了保证低损耗和高效率，振荡器的交流板压振幅 U 应尽可能大，而激励电压振幅 U_g 应尽可能小。在共栅电路中，实际加在板栅回路上的电压是 $U_{ag} = (U_a + U_g)$ ，栅阴回路上的电压是 U_g ，因此板栅回路的储能远大于栅阴回路的储能。从板栅回路中可以得到很大的输出功率。在共板电路中，板栅回路上的电压 $(U + U_g)$ 和板阴回路上的电压 (U) 都相当大。负载可以和任一回路耦合，但是在无负载的那一回路上的损耗，显然比共栅电路中的栅阴回路上的损耗大些。

总而言之，共栅电路是最优越的。正因为如此，所以现代超高频三极管的工业产品中，其结构形式（图 I—5）也通常特别适于作共栅使用。我们今后的研究，也仅限于共栅电路。

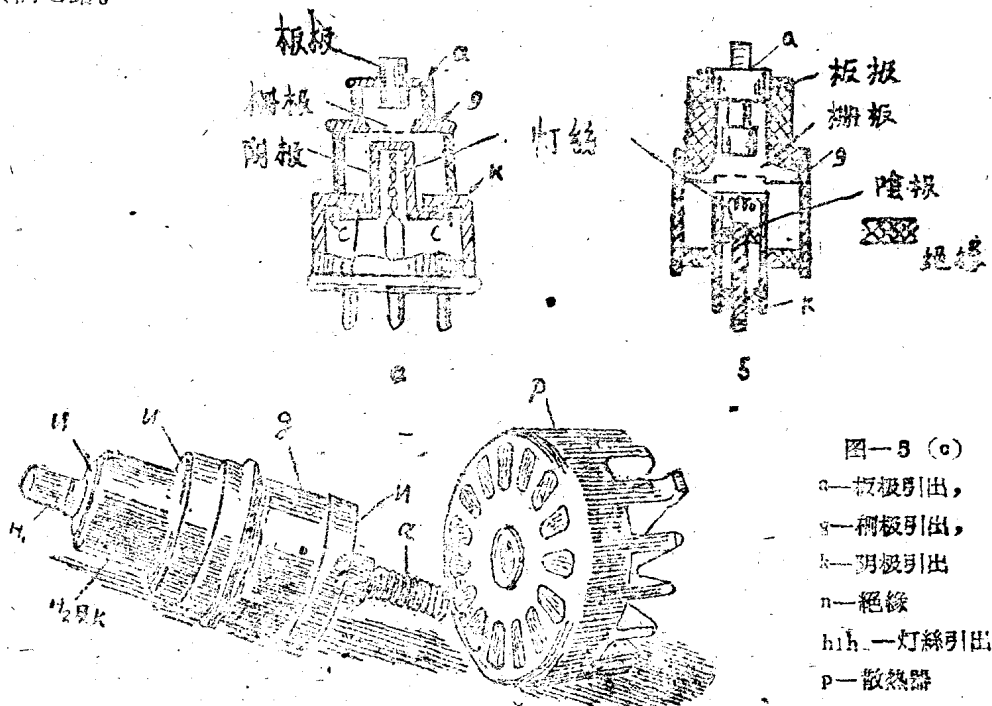


图 I—5 (c)

- a—板极引出
- g—栅极引出
- k—阴极引出
- n—绝缘
- hh—灯丝引出
- p—散热器

§ 2 三极管振荡器中的反馈系数

在前面一节中，我们假定反馈系数是实数。实际上，由于电路上包含有电阻（首先是负载电阻），反馈系数是一个复数，即除其绝对值外，还有一个相位移。

如果把振荡电路绘成如图 I—6 所示的一般形式，则反馈系数可以写为

$$k = -\frac{Z_{ge}}{Z_{ek} + Z_{ag}}$$

其中 Z_{ek} 和 Z_{ag} 都是复量，其中包括外回路的参数，电子管的极间电容以及负载电阻和损耗。

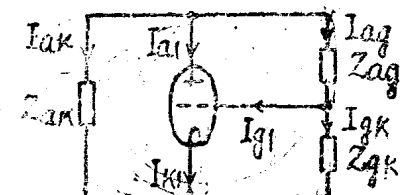


图 I—6

(I—8)

$$Z_{gk} = R_{gk} + jX_{gk}$$

$$Z_{ag} = R_{ag} + jX_{ag}$$

考慮到 X_{ag} 与 $(X_{ag} + X_{gk})$ 是異號的，由公式 (I - 8) 可得 k 的相角

$$\varphi_k = \arctg \frac{X_{gk}R_{ag} - X_{ag}R_{gk}}{X_{gk}(X_{gk} + X_{ag})} \times \frac{1}{1 + \frac{R_{gk}}{X_{gk}} \cdot \frac{R_{gk} + R_{ag}}{X_{gk} + X_{ag}}}$$

考慮到电抗值总是比电阻值大得多，故

$$\varphi_k = \arctg \left[\frac{X_{gk}R_{ag} - X_{ag}R_{gk}}{X_{gk}(X_{gk} + X_{ag})} \right] \quad (I - 9)$$

当迴路參數改变时，方括号內的值可以从 $-\infty$ 变到 $+\infty$ ，故 φ_k 的变化範圍为。

$$-\frac{\pi}{2} \leq \varphi_k \leq \frac{\pi}{2}$$

考慮到在共柵电路中，应有 $\varphi_k > 0$ ，而 X_{gk} 与 X_{ag} 和 X_{gk} 是異號的，因此必須使 $X_{gk} < 0$ ， $X_{ag} > 0$ 。这实际上就是电容三端电路产生自激的必要条件。

§ 3 負載电阻对振盪器工作的影响以及 C_{ak} 与輸出功率的关系

为了分析簡便起見，假定电子管的滲透率 $D \approx 0$ ，这个假定在問題的定性研究中并无影响，而在定量研究中引起的誤差也很微。

振盪的稳定条件为

$$k Z_\Theta \bar{S} = 1 \quad (I - 10)$$

这里 $Z_\Theta = \frac{Z_{ak}(Z_{gk} + Z_{ag})}{Z_{ak} + Z_{gk} + Z_{ag}}$ 是板极总負載阻抗；

$\bar{S} = \alpha_1 S$ 是电子管的平均跨導， S 是电子管的跨導；

$\alpha_1 = \frac{S}{\bar{S}}$ 称为折合系数，它是板流基波系数 α_1 以及板流上下截止角 ψ_1 和 ψ 的函数：

$$\alpha_1 = \frac{1}{\alpha_1 (\cos \psi_1 - \cos \psi)}$$

在共柵电路中，

$$Z_{ak} = \frac{1}{j\omega C_{ak}} = \frac{1}{jB_{ak}}$$

如果忽略柵阴电路中柵流損耗及迴路損耗不計，則

$$Z_{gk} = \frac{1}{jB_{gk}}$$

这里 $B_g > 0$ ，至于 Z_{ag} 則含有一个相当大的电阻部分，可以得到两个方程：

$$\begin{aligned} B_{ag}(B_{gk} + B_{ak}) &= B_{gk}B_{ak} - G_{ag}S \\ B_{ag}S &= G_{ag}(B_{gk} + B_{ak}) \end{aligned} \quad \{ \quad (I - 11)$$

在两个方程中消去 B_{ag} 并引入 α_1 , 得

$$\alpha_1^2 (B_{gk} + B_{ak})^2 - \frac{B_{gk} B_{ak} S}{G_{ag}} \alpha_1 + S^2 = 0 \quad (I-12)$$

因为 α_1 不可能是负数, 所以方程 (I-12) 只有在下列条件下才能有正确的解:

$$\left(\frac{B_{gk} B_{ak}}{G_{ag}} \right)^2 - 4 (B_{gk} + B_{ak})^2 \geq 0$$

或 $\frac{1}{B_{gk}} + \frac{1}{B_{ak}} \leq \frac{1}{2 G_{ag}}$

由此可見, 要保証产生振盪, 应有

$$\left. \begin{aligned} B_{gk} &\geq 2 G_{ag} \\ B_{ak} &\geq 2 G_{ag} \end{aligned} \right\} \quad (I-13)$$

因为

$$B_{gk} = \omega C_{gk} - \frac{1}{X_R}$$

所以在适当选择棚阴迴路电抗 X_R 值时, 第一个条件总是能够满足的, 至于第二个条件则要求

$$\omega C_{ak} \geq 2 G_{ag} \quad (I-14)$$

但是

$$G_{ag} = \frac{2 P_{ag}}{U_{ag}^2 \xi_{ag}^2 E_a^2} \quad (I-15)$$

这里 $\xi_{ag} = \frac{U_{ag}}{E_a}$, 它的值一般不会小于 0.75。所以, 为了保証能产生自激振盪,

应令

$$\omega C_{ak} > 7 \frac{P_{ag}}{E_a^2} \quad (I-16)$$

正是由于这个原因, 在某些专门作自激振盪器用的超高頻三极管中, 在管内采取特殊措施来加大 C_{ak} 的值。例如, 陶瓷金属管 ГИ-11Б 和 ГИ-12Б, 除 C_{ak} 值以外, 其余全部参数都是完全相同的。前者是为振盪器用的, $C_{ak} = 0.16$ 微微法。后者是放大器用的, $C_{ak} = 0.04$ 微微法, 如果必要使振盪器工作于較低的频率, 以致不能满足公式 (I-16) 或 (I-14) 使反馈不足时, 应在振盪器中加上額外的管外反馈。

§ 4 三极管振盪器在超高頻时的工作状态

在超高頻时, 电子惯性的影响不可不考虑。在这种情况下, 电子管中的电流电压关系是非常复杂的。苏联科学院通訊院士格林堡 (Г. А. Гринберг) 在1936年首先发表了二极管中电流和电压关系的严格的解^[1]。其后, 在此基础上, 苏联和其它国家的许多学者創立了超高頻三极管的理論和工程計算法。由于格林堡方程是非常复杂的而煩難的, 在这里我們只限于扼要的介紹一下苏联技术科学副博士拉姆 (Г. С. Рамм) 在1947—1950年期間根据格林堡的工作而提出来的工程計算方法^[2]。

首先，應該了解使用这种方法进行計算的几个前提条件。

1. 电子管中的阴极电子电流小于饱和电流，并且电子管的电极是平行平板形的。如果是圆柱形的电极，则圆柱电极的半径应比极间距离大得多。換句話說，即能够用 $3/2$ 次方定律来进行計算。
2. 极间距离比工作波长小得多，电子运动速度比光速小很多，以致不必应用相对論。
3. 电极的線性尺度应比极间距离大得多，以致边缘效应可以忽略不計。
4. 阴极电流截止角等于 $\frac{\pi}{2}$ ，并假定渗透率 $D = 0$ ，而且栅极对电子的穿越完全沒有机械障碍。
5. 振盪迴路調到諧振，并且品质因數足够高，以便得到所需的等效负载电阻 R_{eq} 值（图1—7）。

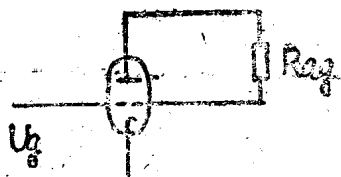


图1—7

电子管的固有电抗归入外电路中計算。計算的条件是在正常板压下获得最大的输出功率和效率。

既然假定阴极电子电流不致達到饱和，于是可以根据 $3/2$ 次方定律写出在低頻时的阴极电子电流峰值 I'_{ek} 等于阴极的发射电流 I'_{ek} 。这里 A_k 是阴极的工作面积，以平方厘米为单位。 d_{gk} 是栅阴极間距离，以厘米为单位。

$$I'_{ek} = 2.33 \times 10^{-6} U_g^{3/2} \frac{A_k}{d_{gk}^2} \quad (1-17)$$

在很高的频率下，由于电子惯性的影响，一部分电子不能达到板极而中途折返阴极附近，形成空间电荷；因此，实际的阴极电子电流峰值 I_k' 将小于阴极的发射电流 I'_{ek} ，两者的比值取决于电子的渡越時間：

$$\frac{I_k'}{I'_{ek}} \approx \frac{9}{8} \Theta_{gk} \quad (1-18)$$

$$\text{这里 } \Theta_{gk} = \frac{\omega d_{gk}}{2 m U_g} = \frac{6330 d_{gk}}{e} \quad (1-19)$$

Θ_{gk} 称为电子在栅阴极間的虛渡越角，以弧度为单位， λ 为工作波长。

当 Θ_{gk} 等于临界值 $\Theta_{gkk} = 2$ 时，阴极电通角恰好等于 $\frac{\pi}{2}$ ，这时阴极电子电流的峰值等于

$$I_k = \frac{9}{8} \frac{I'_{ek}}{\Theta_{gkk}} = \frac{I'_{ek}}{2.25} \approx U_g^{3/2} \frac{A_k}{d_{gk}^2} \times 10^{-6} \quad (1-20)$$

因此，應該根据公式(1—20)的关系，来选择电子管，使其发射电流能滿足 $2.25 I_k$ 的

要求。

阴极电流的直流分量和基波分量分别为

$$I_{kO} = I_k F_{kO} \quad (1-21)$$

$$I_{k1} = I_k F_{k1} e^{j\varphi_{k1}} \quad (I-22)$$

F_{k0} , F_{k1} 及 φ_{k1} 之值，可以由图 I-8 所示曲线根据 G_{gk} 之值求得。图中实线为 F_{k0} 。

虛線為 F_{k1} , $\beta = -\frac{E_k}{U_g}$ 。

板流的直流分量及基波分量分别为

$$I_{a_0} = I_{k_0} = I_k F_{k_0} \quad (1-23)$$

$$J_{a1} \equiv J_1 F_{a1} e^{j\varphi_{a1}} \quad (1-24)$$

图4-9示 F_{a1} 及 φ_{a1} 在不同的 Θ_{ek} 值时与 Θ_{agk} 之间的关系，这里

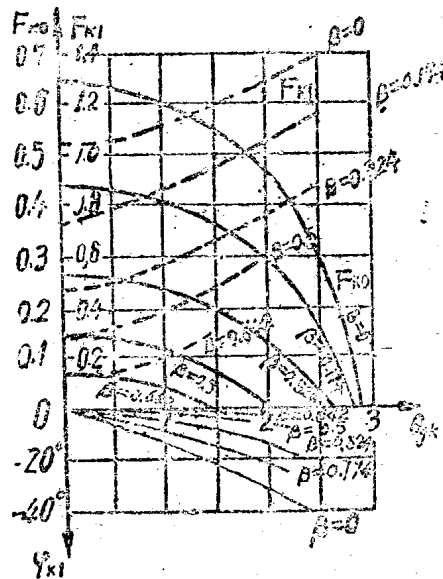


图 I-3

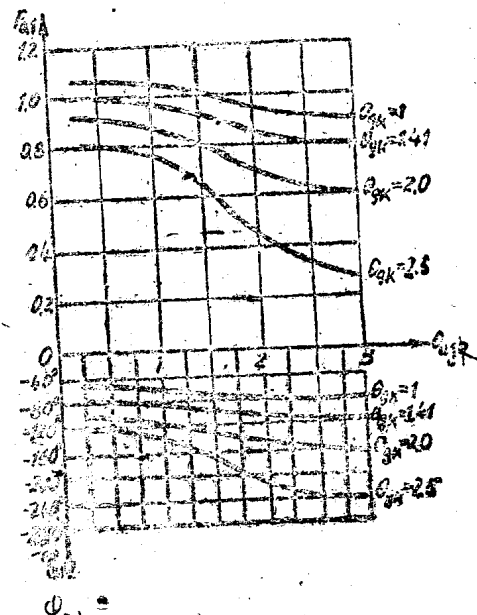


圖 I-9

$$\theta_{\text{agk}} = \lambda \sqrt{\frac{6330 d_{\text{ag}}}{E_a (1 - 0.82 \frac{d_{\text{ag}}}{L})}} \quad (I-25)$$

其中 $\xi_{ag} = -\frac{U_{ag}}{E_a}$

从图 I-10 可见, Θ_{gk} 对板流基波的影响比 Θ_{ag} 大得多。因此, 应设法使 Θ_{gk} 尽可能小。由公式 (1-19) 可见, 当电子管已选定时, 在一定的工作波长下, 减小 Θ_{gk} 的唯一办法就是增大 U_g 之值。但是由公式 (1-20) 可知, U_g 的值受到电子管发射电流的限制, 不能任意地无限增大。因此, 应该根据电子管的最大发射电流密度来选择激励电压 U_g 之值。在连续工作状态下的激活阴极中, 最大发射电流一般为